



Министерство науки и высшего образования Российской Федерации
Калужский филиал
федерального государственного бюджетного
образовательного учреждения высшего образования
«Московский государственный технический университет имени Н.Э. Баумана
(национальный исследовательский университет)»
(КФ МГТУ им. Н.Э. Баумана)

ФАКУЛЬТЕ

Т

МК «Машиностроительный»

КАФЕДРА

МК10 «Высшая математика и физика»

Домашняя работа №1

«Одномерные вейвлет-преобразования»

ДИСЦИПЛИНА: «Вейвлет-преобразование сигналов»

Выполнил: студент гр. ИУК4-11М _____ (_____)
(подпись) (Ф.И.О.)

Проверил: _____ (_____)
(подпись) (Ф.И.О.)

Дата сдачи (защиты):

Результаты сдачи (защиты):

- Балльная оценка:

- Оценка:

Калуга, 2024

Задание 1

Функция $f(t) = 4(t - 7)^2 + t$ задана на промежутке $[0, 14]$.

Используя пакет SymPy, найдём разложение функции в ряд Фурье в символьном виде, упростим разложение.

```
fourier = sp.fourier_series(f, (t, *t_range))  
fourier
```

$$-\frac{14 \sin\left(\frac{\pi t}{7}\right)}{\pi} - \frac{7 \sin\left(\frac{2\pi t}{7}\right)}{\pi} + \frac{784 \cos\left(\frac{\pi t}{7}\right)}{\pi^2} + \frac{196 \cos\left(\frac{2\pi t}{7}\right)}{\pi^2} + \frac{217}{3} + \dots$$

Рисунок 1.1 – Разложение функции в ряд Фурье

```
sp.simplify(fourier.truncate())
```

$$\frac{7 \left(-6\pi \left(\cos\left(\frac{\pi t}{7}\right) + 1 \right) \sin\left(\frac{\pi t}{7}\right) + 336 \cos\left(\frac{\pi t}{7}\right) + 84 \cos\left(\frac{2\pi t}{7}\right) + 31\pi^2 \right)}{3\pi^2}$$

Рисунок 1.2 – Упрощение разложения

Построим графики функции и частичных сумм $(f(t), S_0(t)); (f(t), S_1(t)); (f(t), S_2(t)); (f(t), S_{10}(t))$

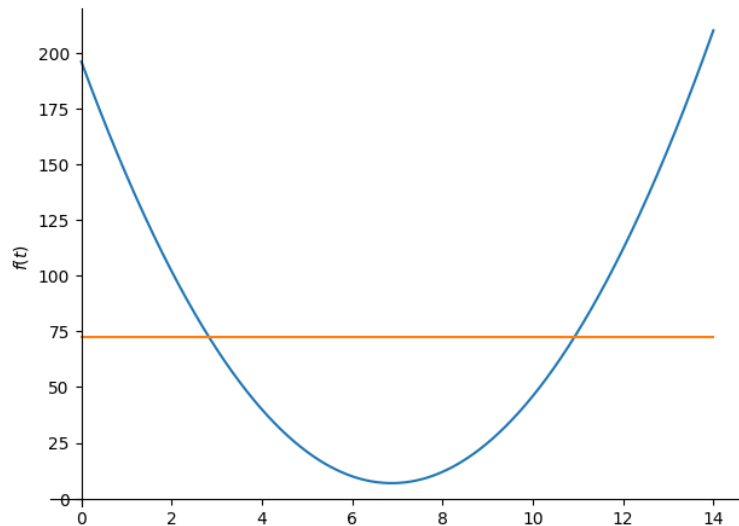


Рисунок 1.3 – График функции и частичная сумма s_0

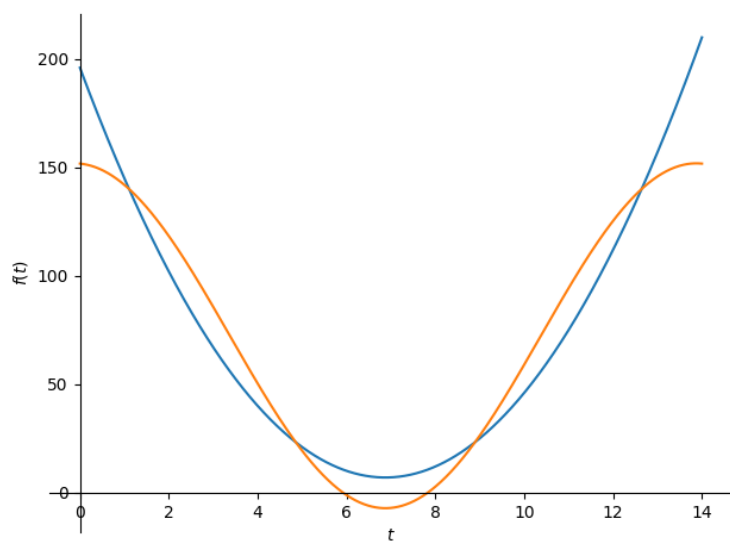


Рисунок 1.4 – График функции и частичная сумма s_1

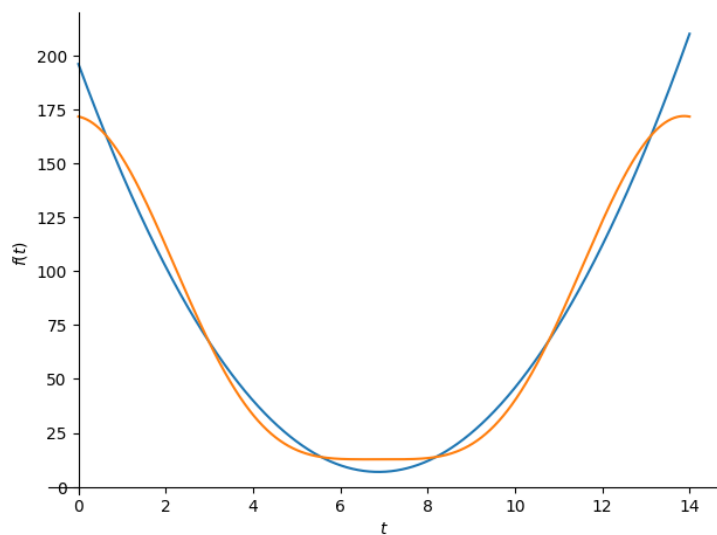


Рисунок 1.5 – График функции и частичная сумма s_2

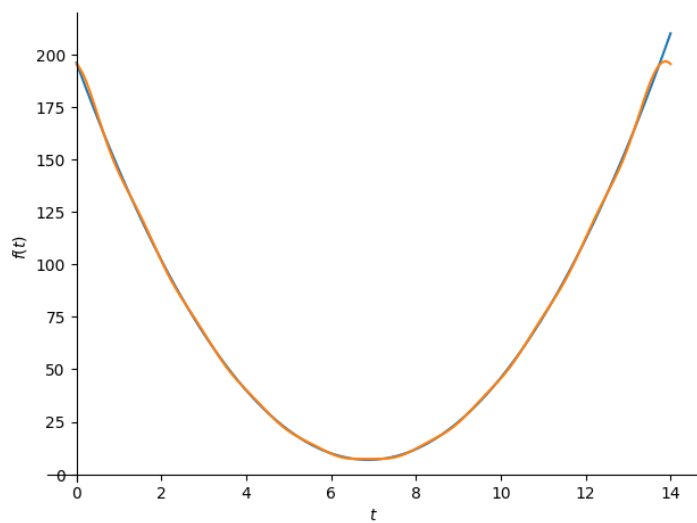


Рисунок 1.6 – График функции и частичная сумма s_{10}

Найдём максимальную погрешность приближения функции $f(t)$ частичной суммой $S_{50}(t)$.

```
lambdified = sp.lambdify(t, sp.Abs(f - fourier.truncate(51)).evalf())
np.max(lambdified(np.arange(*t_range, 1e-3)))

np.float64(8.416341780039858)
```

Рисунок 1.7 – Максимальная погрешность приближения функции

Задание 2

Функция без случайной составляющей:

$$t(t+7)^{0.5} + \begin{cases} -8 & \text{for } t = \frac{\pi}{2} \\ 0 & \text{otherwise} \end{cases} + \begin{cases} \cos(8t+14) & \text{for } t \leq \pi \\ \cos(4t+7) & \text{otherwise} \end{cases}$$

Рисунок 2.1 – Функция без случайной составляющей

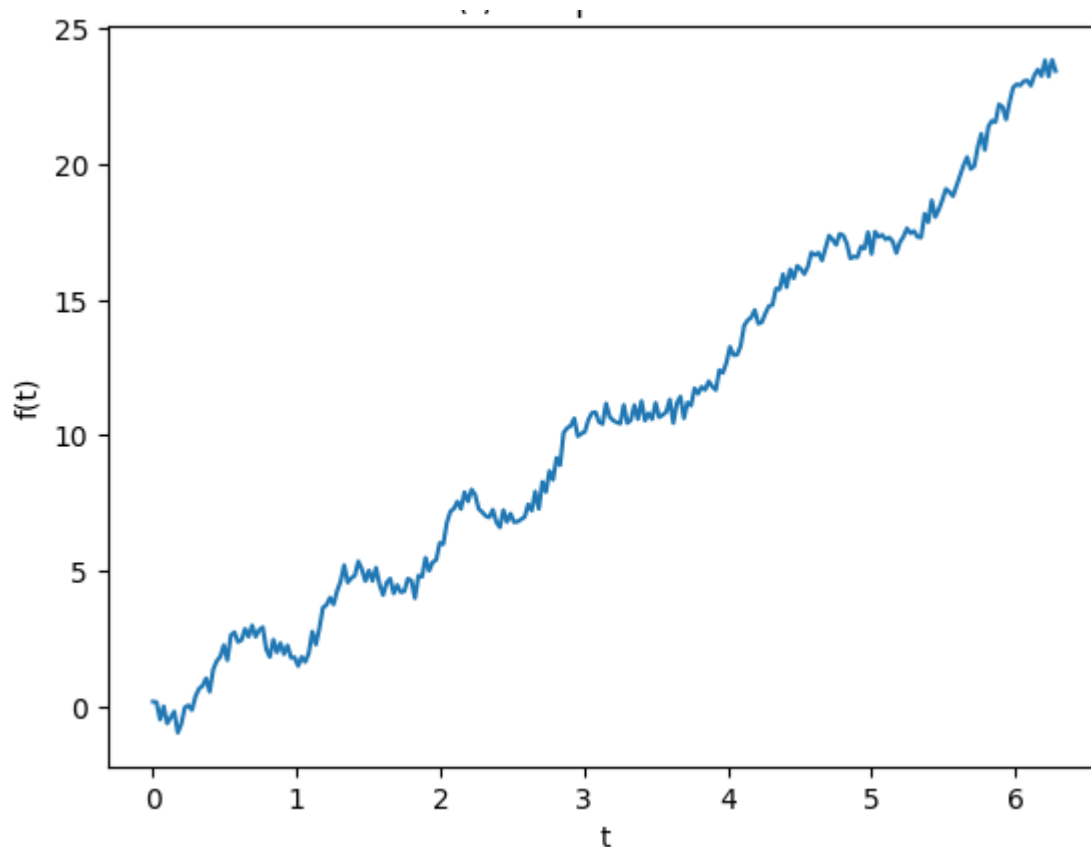


Рисунок 2.2 – Функция

```
frequencies = np.fft.fftfreq(num_points, (t_values[1] - t_values[0]))
plt.plot(frequencies[:num_points // 2], np.abs(fourier)[:num_points // 2], color='r')
plt.title("Амплитудный спектр сигнала f(t)")
plt.xlabel("Частота (Hz)")
plt.ylabel("Амплитуда")
```

Text(0, 0.5, 'Амплитуда')

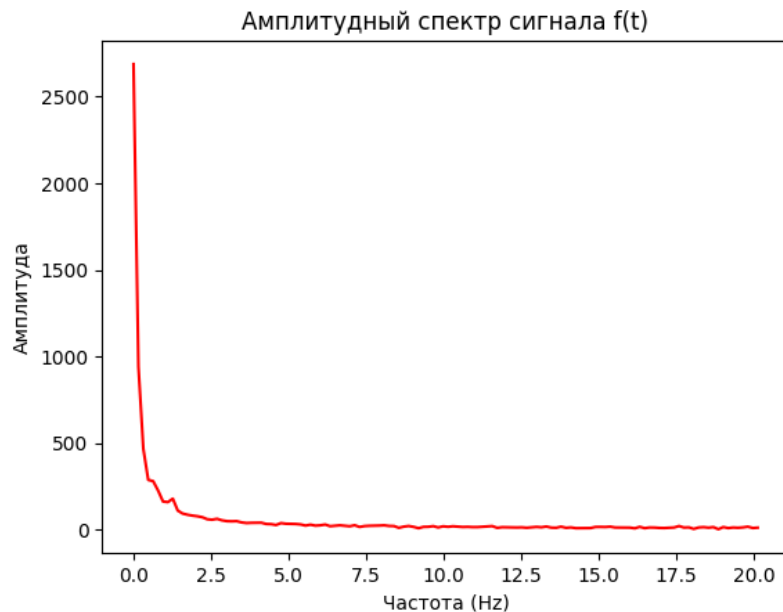


Рисунок 2.3 – График амплитудного спектра преобразования Фурье

Оставим 10% наибольших по абсолютной величине коэффициентов и обнулим остальные:

```
sorted_indices = np.argsort(np.abs(fourier))
num_to_keep = int(0.1 * num_points)
threshold_indices = sorted_indices[-num_to_keep:]

fourier_filtered = np.zeros_like(fourier)
fourier_filtered[threshold_indices] = fourier[threshold_indices]
```

Рисунок 2.4 – Обнуление 90% наименьших коэффициентов

Найдём разницу между исходным (без учета случайной составляющей) и восстановленным сигналами, используя L1-норму:

```
f_values_filtered = np.fft.ifft(fourier_filtered).real
```

```
f_no_noise = f_num(t_values)
difference = f_no_noise - f_values_filtered
L1_norm = np.sum(np.abs(difference))
L1_norm
```

```
np.float64(167.2929421565357)
```

Рисунок 2.5 – L1-норма разницы между исходным и восстановленным сигналами

Получаем, что $L1$ – норма = 167.29.

Построим графики исходного (без учета случайной составляющей) и восстановленного сигналов:

```
plt.plot(t_values, f_no_noise, label="Исходный сигнал без случайного шума", color='b')
plt.plot(t_values, f_values_filtered, label="Восстановленный сигнал (10% коэффициентов)", color='g', linestyle='--')
plt.title("Сравнение исходного и восстановленного сигналов")
plt.xlabel("t")
plt.ylabel("Амплитуда")
plt.legend()
```

<matplotlib.legend.Legend at 0x716222e4ed50>

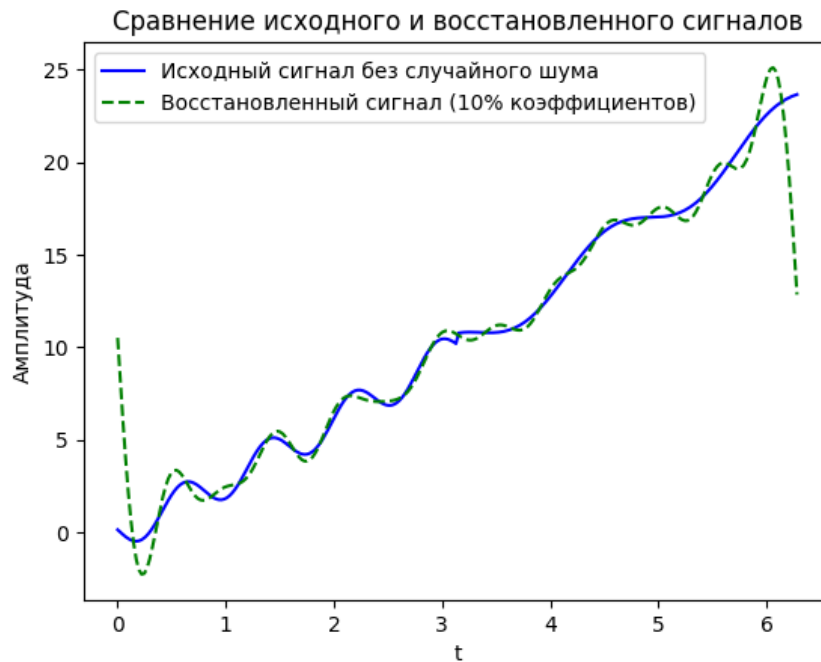


Рисунок 2.6 – Графики исходного и восстановленного сигналов

Задание 3

Функция без случайной составляющей:

$$t(t+7)^{0.5} + \begin{cases} -8 & \text{for } t = \frac{\pi}{2} \\ 0 & \text{otherwise} \end{cases} + \begin{cases} 2 \cos(8t+14) & \text{for } t \leq \pi \\ 3 \cos(4t+7) & \text{otherwise} \end{cases}$$

Рисунок 3.1 – Функция без случайной составляющей

Введём функции для построения графиков и устранения шумов:

```
def plot_result(t_values, f_no_noise, f_restored):
    plt.figure(figsize=(10, 6))

    plt.subplot(2, 1, 1)
    plt.plot(t_values, f_no_noise, label="Исходный сигнал без случайного шума", color='b')
    plt.title("Исходный сигнал")
    plt.xlabel("t")
    plt.ylabel("Амплитуда")
    plt.legend()

    plt.subplot(2, 1, 2)
    plt.title("Восстановленный сигнал")
    plt.plot(t_values, f_restored, label="Восстановленный сигнал (10% коэффициентов)", color='g')
    plt.xlabel("t")
    plt.ylabel("Амплитуда")
    plt.legend()

    plt.tight_layout()
    plt.show()

def denoise(f_values: np.array, wavelet_type: str):
    coeffs = pywt.wavedec(f_values, wavelet_type)

    coeff_arr, coeff_slices = pywt.coeffs_to_array(coeffs)
    threshold = np.percentile(np.abs(coeff_arr), 90)
    coeff_arr[np.abs(coeff_arr) < threshold] = 0
    coeffs_thresholded = pywt.array_to_coeffs(coeff_arr, coeff_slices, output_format='wavedec')

    return pywt.waverec(coeffs_thresholded, wavelet_type)
```

Рисунок 3.2 – Утилитарные функции

Восстановим сигнал, используя вейвлет Добеши 2 и получим L1-норму для него.

```
f_restored = denoise(f_values, 'db2')

l1_norm = np.sum(np.abs(f_values - f_restored))
print("L1-норма разности:", l1_norm)
```

L1-норма разности: 95.66175096830705

Рисунок 3.3 – Значение L1-нормы вейвлета Добеши 2

Построим графики исходного и восстановленного сигналов:

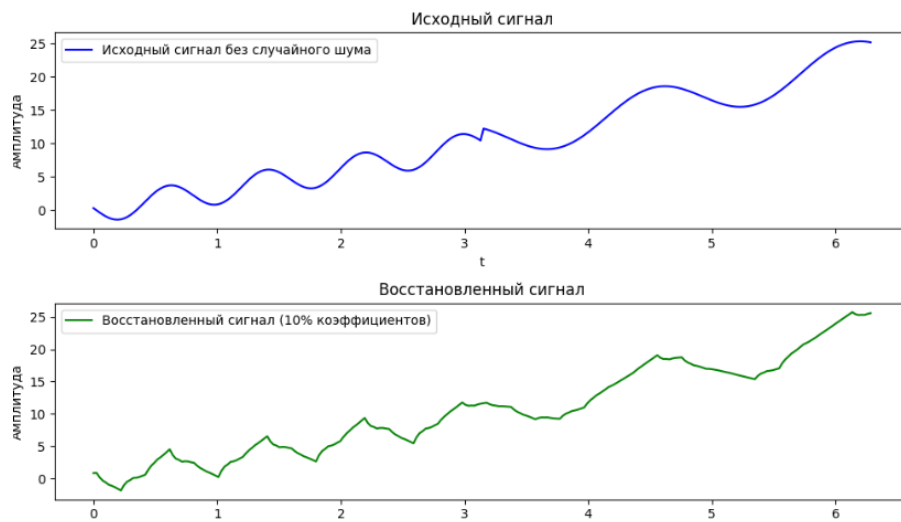


Рисунок 3.4 – Исходный сигнал и восстановленный сигнал вейвлет-преобразования Добеши 2

Восстановим сигнал, используя вейвлет Добеши 10 и получим L1-норму для него.

```
f_restored = denoise(f_values, 'db10')
```

```
l1_norm = np.sum(np.abs(f_values[:len(f_restored)] - f_restored))  
print("L1-норма разности:", l1_norm)
```

```
L1-норма разности: 72.50519895455824
```

```
f_no_noise = f_num(t_values)  
plot_result(t_values, f_no_noise, f_restored)
```

Рисунок 3.5 – Значение L1-нормы вейвлета Добеши 10

Построим графики исходного и восстановленного сигналов:

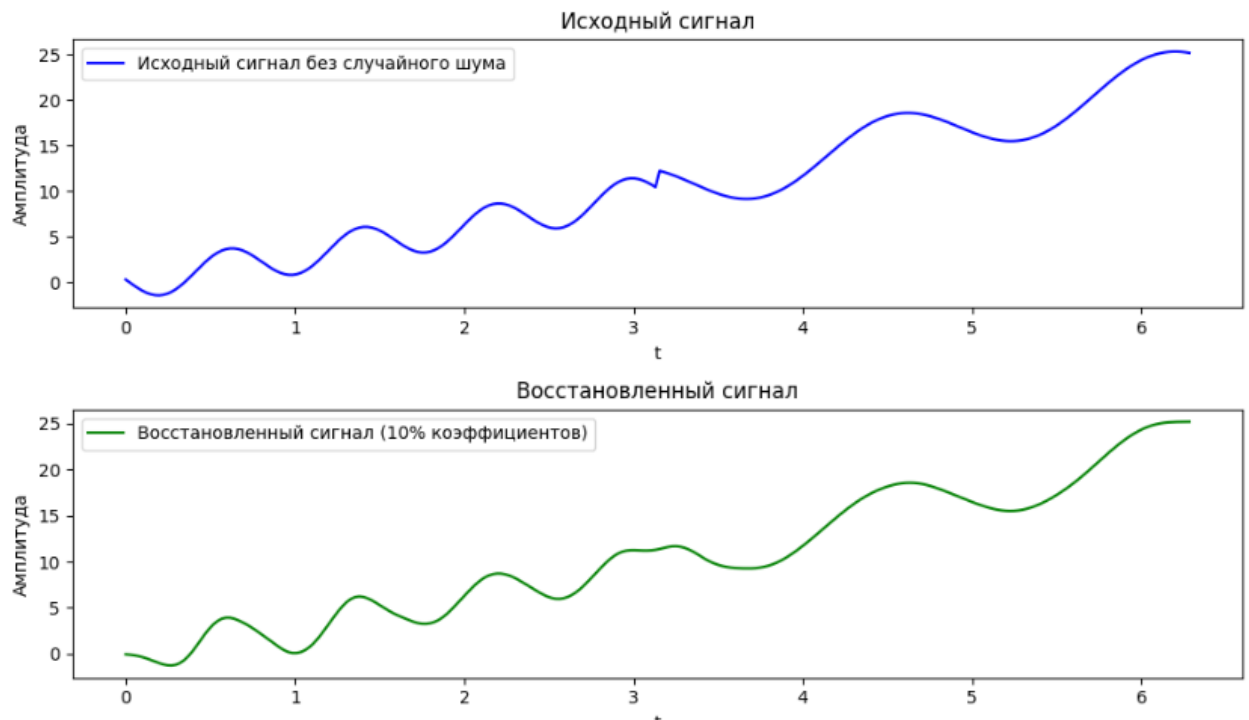


Рисунок 3.6 – Исходный сигнал и восстановленный сигнал вейвлет-преобразования Добеши 10

Восстановим сигнал, используя биортогональный вейвлет 2,2 и получим L1-норму для него.

```
f_restored = denoise(f_values, 'bior2.2')
```

```
l1_norm = np.sum(np.abs(f_values[:len(f_restored)] - f_restored))  
print("L1-норма разности:", l1_norm)
```

L1-норма разности: 69.27611724185996

Рисунок 3.7 – Значение L1-нормы биортогонального вейвлета 2,2

Построим графики исходного и восстановленного сигналов:

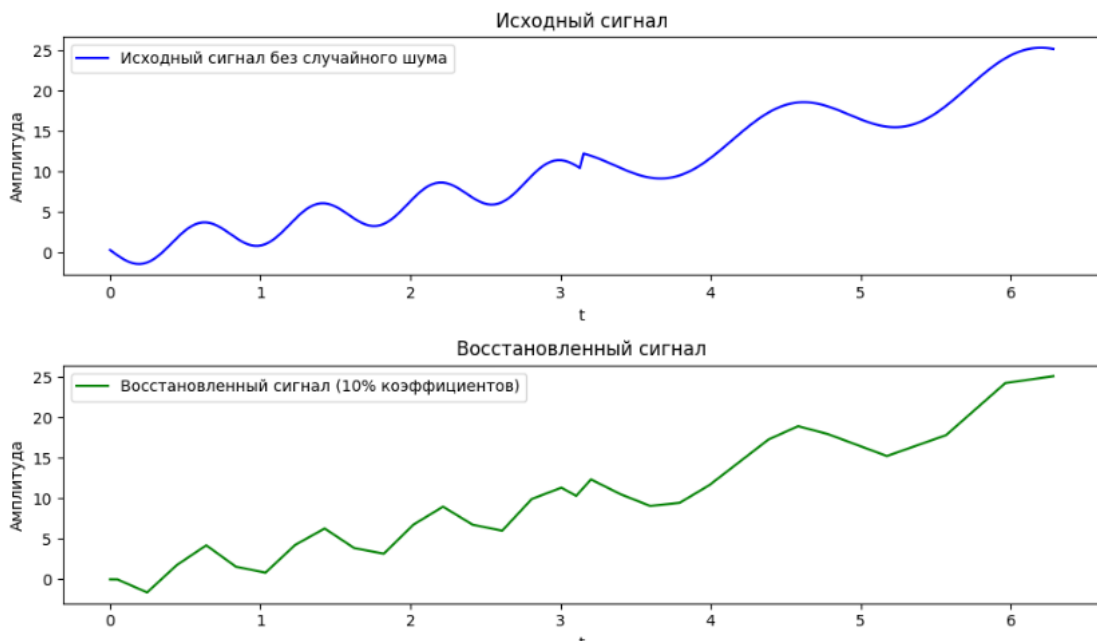


Рисунок 3.8 – Исходный сигнал и восстановленный сигнал биортогонального вейвлет-преобразования 2,2

Восстановим сигнал, используя симметричного вейвлета 4 и получим L1-норму для него.

```
f_restored = denoise(f_values, 'sym4')
```

```
l1_norm = np.sum(np.abs(f_values[:len(f_restored)] - f_restored))  
print("L1-норма разности:", l1_norm)
```

L1-норма разности: 73.42999539117159

Рисунок 3.9 – Значение L1-нормы симметричного вейвлета 4

Построим графики исходного и восстановленного сигналов:

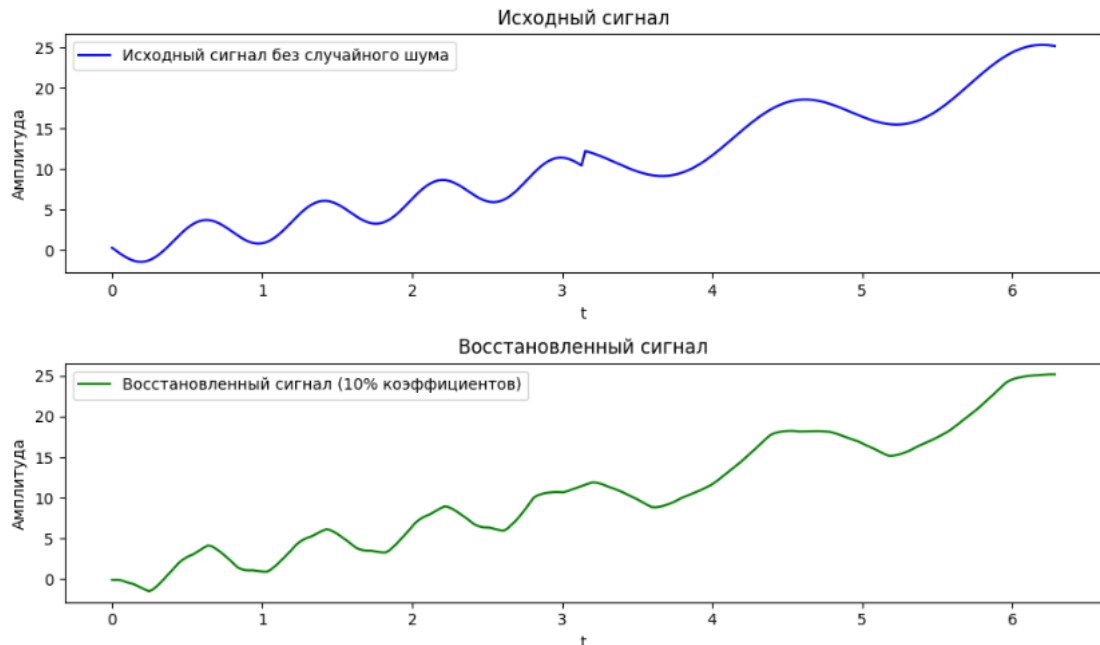


Рисунок 3.10 – Исходный сигнал и восстановленный сигнал симметричного вейвлет-преобразования 4

Таблица 1

Значения L1-нормы для вейвлет-преобразований

	Добеши 2	Добеши 10	Биортогональный 2,2	Симметричный 4
L1-норма	95.66	72.50	69.27	73.42

Биортогональный 2.2 имеет наименьшую L1-норму (69.27), что свидетельствует о том, что этот вейвлет наилучшим образом подходит для восстановления сигнала в данном случае. Добеши 10 также демонстрирует хороший результат, но уступает биортогональному вейвлету. Добеши 2 оказался наименее эффективным с точки зрения восстановления сигнала, так как имеет наибольшую L1-норму.

Задание 4

Функция без случайной составляющей:

$$t(t+7)^{0.5} + \begin{cases} 2 \cos(8t+14) & \text{for } t \leq \pi \\ 3 \cos(4t+7) & \text{otherwise} \end{cases}$$

Рисунок 4.1 – Функция без случайной составляющей

Построим графики самого исходного сигнала и его же без шумов:

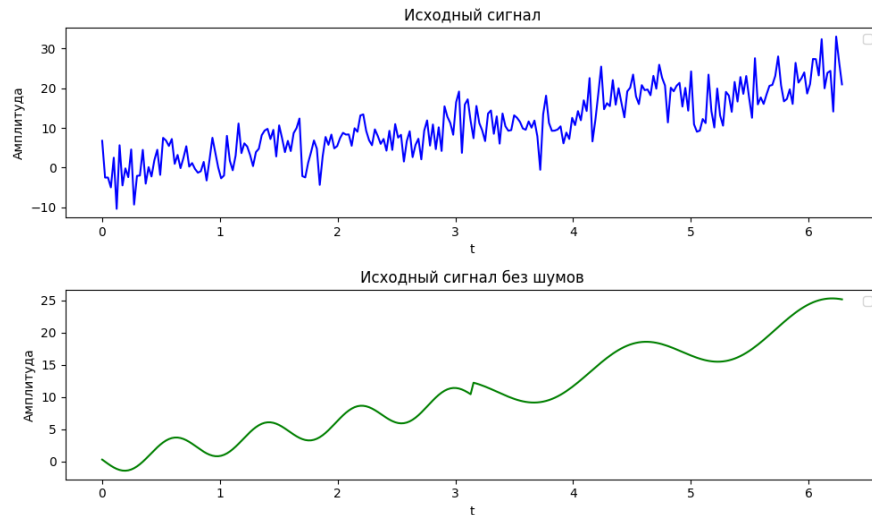


Рисунок 4.2 – График самого исходного сигнала и его же без шумов

Введём функцию для подсчёта соотношения сигнала к шумам ОСШ = $10 * \log_{10} \frac{A_{\text{ср.сигнала}}^2}{A_{\text{ср.шума}}^2}$:

```
def calculate_snr(signal: np.array, noise):
    power_signal = np.mean(signal ** 2)
    power_noise = np.mean(noise ** 2)
    snr = 10 * np.log10(power_signal / power_noise)
    return snr
```

Рисунок 4.3 – Функция подсчёта ОСШ

Построим график восстановленного сигнала для вейвлета Добеши 2:

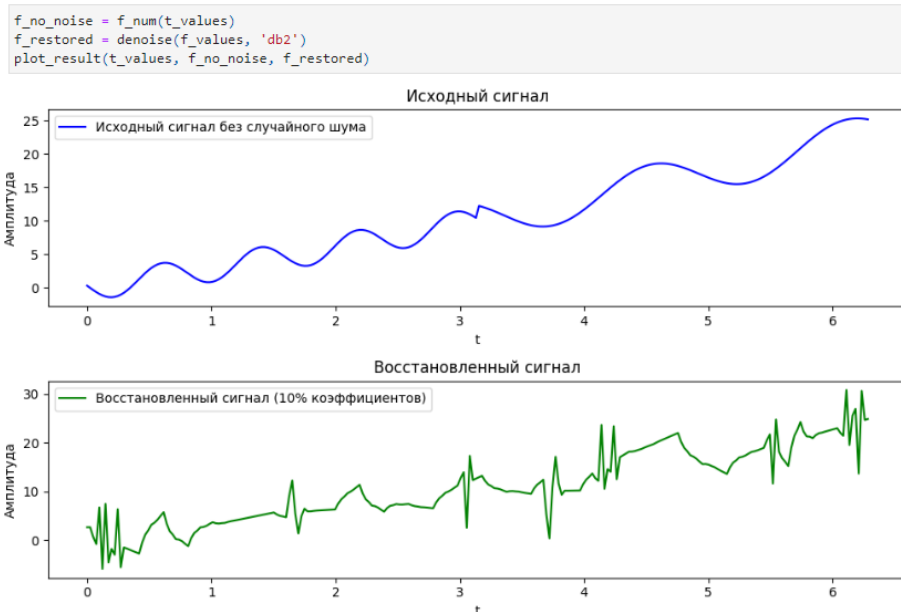


Рисунок 4.4 – Исходный сигнал и восстановленный сигнал вейвлет-преобразования Добеши 2

Вычислим значение ОСШ для исходного сигнала и вейвлета Добеши 2:

```
calculate_snr(f_values, r_values)

np.float64(10.809635880458037)

calculate_snr(f_restored, f_no_noise - f_restored)

np.float64(14.073055816432916)
```

Рисунок 4.5 – Значение ОСШ вейвлета Добеши 2 и исходного сигнала

Построим график восстановленного сигнала для вейвлета Добеши 10:

```
f_no_noise = f_num(t_values)
f_restored = denoise(f_values, 'db10')
plot_result(t_values, f_no_noise, f_restored)
```

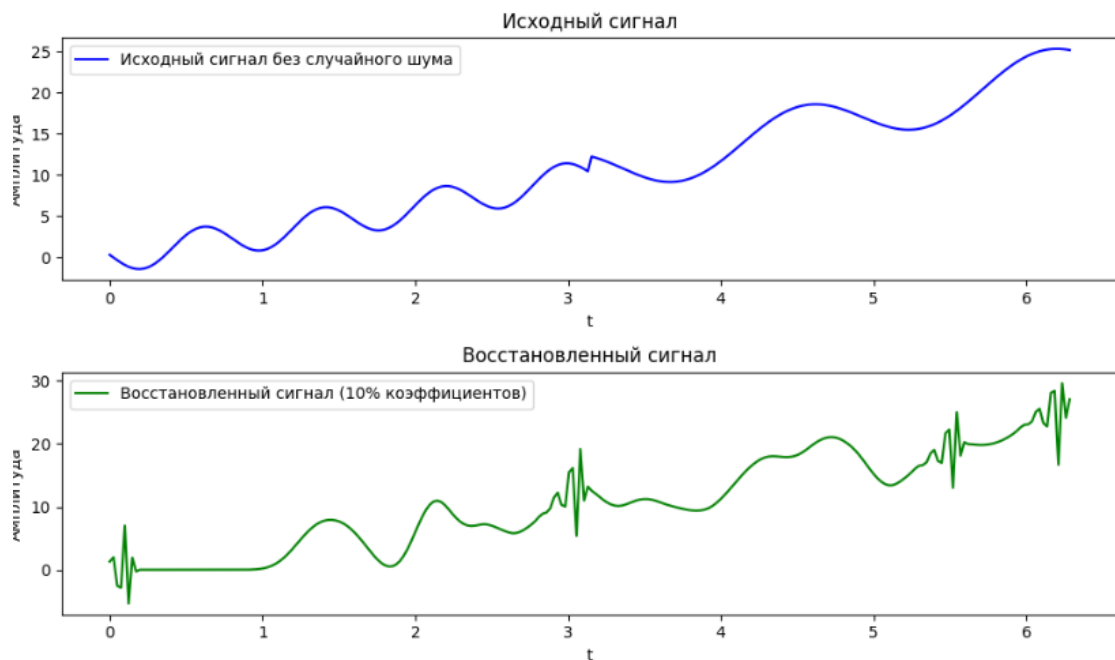


Рисунок 4.6 – Исходный сигнал и восстановленный сигнал вейвлет-преобразования Добеши 10

Вычислим значение ОСШ для вейвлета Добеши 10:

```
calculate_snr(f_restored, f_no_noise - f_restored)

np.float64(16.152874218066692)
```

Рисунок 4.7 – Значение ОСШ вейвлета Добеши 10

Построим график восстановленного сигнала для биортогонального вейвлета 2,2:

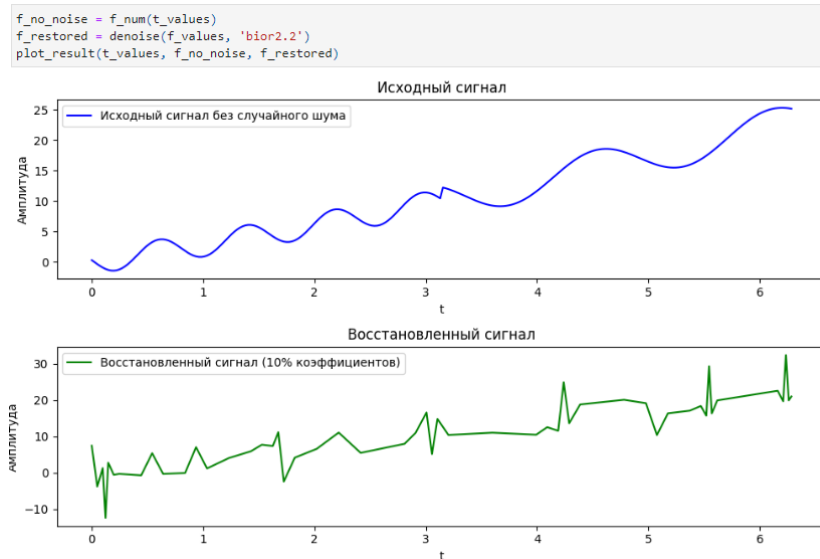


Рисунок 4.8 – Исходный сигнал и восстановленный сигнал биортогонального вейвлет-преобразования 2,2

Вычислим значение ОСШ для биортогонального вейвлета 2,2:

```
calculate_snr(f_restored, f_no_noise - f_restored)

np.float64(14.570048257135104)
```

Рисунок 4.9 – Значение ОСШ биортогонального вейвлета 2,2

Построим график восстановленного сигнала для симметричного вейвлета 4:

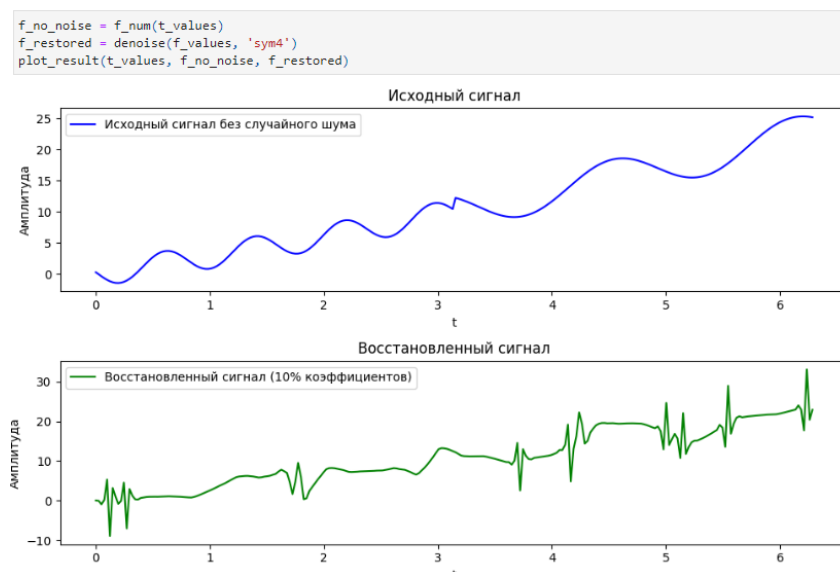


Рисунок 4.10 – Исходный сигнал и восстановленный сигнал симметричного вейвлета 4

Вычислим значение ОСШ для симметричного вейвлета 4:

```
calculate_snr(f_restored, f_no_noise - f_restored)
np.float64(14.737411907816341)
```

Рисунок 4.11 – Значение ОСШ симметричного вейвлета 4

Таблица 2

Значения ОСШ для исходного и восстановленных сигналов

	<i>Исходный</i>	<i>Добеши 2</i>	<i>Добеши 10</i>	<i>Биортогональный 2,2</i>	<i>Симметричный 4</i>
<i>ОСШ, дБ</i>	10.81	14.07	16.15	14.57	14.73

На основе данных таблицы наилучший вейвлет для устранения шума — Добеши 10. Он обеспечивает наибольшее значение ОСШ (16.15 дБ), что указывает на лучшее подавление шума и сохранение полезного сигнала.